

折板要素とした弹性基礎上板の曲げについて

北海道大学

正員
学生員能野 純雄
○岸 徳光

1. まえがき

近年、地下鉄、地下道、沈埋トンネル等と、大型の工事中 海中構造物の建設が多くなってきている。これらの構造物、慣用的解析方法は、軸方向には 弹性基礎上の梁とし、断面方向には弾性基礎上のラーメン構造として行なわれている。従って立体的な応力状況の局部的な変化をつかむことができない。これらを詳しく検討するため構造物を折板要素に分割して解析する方法があるが、このためには、弹性基礎上にある板要素の性状を先ず明らかにする必要がある。

本論文は、この目的のための一つの approach として、折板要素とした弹性基礎上板の曲げについて

1. 等断面の弹性基礎上板の要素から得られる方法と
 2. 平板要素から得られる弹性基礎上板モデルによる方法
- を示し、後者の簡略な方法でも十分、精度が保たれることを示したものである。

解析にあたり、板要素は等方等質であり、軸方向端は単純支持されているものとする。

2. 弹性基礎上板要素から得られる解式

右図のような任意の弹性基礎上の折板要素をとりだし、地盤反力を

K とすると、基礎微分方程式は

$$\Delta^2 W + \frac{K}{N} = \frac{\theta}{N} \quad N = \frac{Et^3}{12(1-\nu^2)} \quad (1)$$

ここで、 $0 < y < b$ の範囲に荷重が無いとし、また $b \ll l$ と仮定し

(1) に指數型フーリエ変換 $W = \frac{1}{\sqrt{2\pi}} \int_{-\infty}^{\infty} W_m e^{imx} dm$ を適用して解くと、

$$W_m m^4 - 2m^2 \frac{d^2 W_m}{dy^2} + \frac{d^4 W_m}{dy^4} + \frac{K}{N} W_m = 0 \quad (2)$$

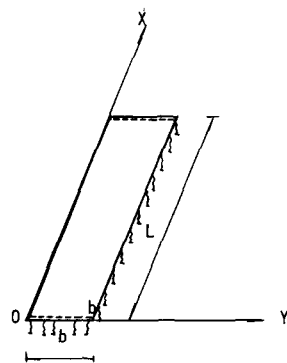


Fig. 1

さらに、 y 方向にフーリエ Sine 変換、 $S_n[W_m] = \int_0^b W_m \sin \frac{n\pi y}{b} dy$ を施し、 $-N \frac{d^2 W_m}{dy^2} = M_{mo}^*$ として整理すると

$$S_n[W_m] = -\frac{1}{\left\{m^2 + \left(\frac{n\pi}{b}\right)^2\right\}^2 + \frac{K}{N}} \left[\frac{1}{N} \left(\frac{n\pi}{b}\right) \left(M_{mb}^* (-1)^n - M_{mo}^* \right) + \left\{ 2m^2 \left(\frac{n\pi}{b}\right) + \left(\frac{n\pi}{b}\right)^3 \right\} \left(W_{mb} (-1)^n - W_{mo} \right) \right] \quad (3)$$

(3)において、 M_{mo}^* に関する係数は、分母の項を Taylor 展開して高次の項を無視すれば

$$\frac{1}{N} \cdot \frac{1}{\left\{m^2 + \left(\frac{n\pi}{b}\right)^2\right\}^2 + \frac{K}{N}} \cdot \left(\frac{n\pi}{b}\right) \approx \frac{1}{\left\{\left(\frac{n\pi}{b}\right)^4 + \frac{K}{N}\right\} N} \cdot \left(\frac{n\pi}{b}\right) \quad (4)$$

また、 W_m に対しては

$$\frac{2m^2 + \left(\frac{n\pi}{b}\right)^2}{\left\{m^2 + \left(\frac{n\pi}{b}\right)^2\right\}^2 + \frac{K}{N}} = \frac{1}{2} \left\{ \frac{1}{\left(\frac{n\pi}{b}\right)^2 + m^2 + i\sqrt{\frac{K}{N}}} + \frac{1}{\left(\frac{n\pi}{b}\right)^2 + m^2 - i\sqrt{\frac{K}{N}}} \right\} + \frac{m^2}{\left\{m^2 + \left(\frac{n\pi}{b}\right)^2\right\}^2 + \frac{K}{N}} \approx \frac{\left(\frac{n\pi}{b}\right)^2}{\left(\frac{n\pi}{b}\right)^4 + \frac{K}{N}} \quad (5)$$

結果 (3) は

$$S_n[W_m] = -\frac{\left(\frac{n\pi}{b}\right)}{\left\{\left(\frac{n\pi}{b}\right)^4 + \frac{K}{N}\right\} N} \left\{ M_{mb}^* (-1)^n - M_{mo}^* \right\} - \frac{\left(\frac{n\pi}{b}\right)^3}{\left(\frac{n\pi}{b}\right)^4 + \frac{K}{N}} \left\{ W_{mb} (-1)^n - W_{mo} \right\} \quad (6)$$

(6) を y 方向にフーリエ Sine 変換、 x 方向には指數型変換の逆変換を施すと
たわみ W は

$$\omega = \frac{b^2}{2N} P(\eta) M_o^* + \frac{b^2}{2N} P(1-\eta) M_b^* + Q(1-\eta) \omega_b + Q(\eta) \omega_o \quad (7)$$

但し $\eta = y/b$, $C^4 = kb^4/4N$

$$P(\eta) = \frac{1}{C^2} \frac{\sinh(z-\eta) \sinh(z+\eta)}{\cosh 2z - \cos 2z} \quad Q(\eta) = \frac{\cosh(z-\eta) \cosh(z+\eta) - \sinh(z-\eta) \sinh(z+\eta)}{\cosh 2z - \cos 2z}$$

θ_o, θ_b は $(\frac{d\omega}{dy})_{y=0}, (\frac{d\omega}{dy})_{y=b}$ と y 求まる。

又、 $\Delta W = \frac{\partial^2 W}{\partial x^2} + \frac{\partial^2 W}{\partial y^2}$ (8) と同様に、 x 方向に指数型 Fourier 变換、 y 方向に Fourier Sine 变换を施し、さらに両辺に演算子 Δ をかけ (1) 式代入すると。

$$S_n[\Delta W_m] = \frac{1}{\left\{m^2 + \left(\frac{n\pi}{b}\right)^2\right\}} \left[\frac{K}{N} S_n[W_m] - \left(\frac{n\pi}{b}\right) \left\{ \Delta W_{mb}(-1)^n - \Delta W_{mo} \right\} \right]$$

$$\Delta W_{mo} = -m^2 W_{mo} - M_{mo}^*/N \quad \text{を考慮して (3) 式代入し、(4), (5) の操作を施すと}$$

$$S_n[\Delta W_m] = \frac{\left(\frac{n\pi}{b}\right)}{\left\{ \left(\frac{n\pi}{b}\right)^2 + \frac{K}{N} \right\} N} \left\{ m^2 - \left(\frac{n\pi}{b}\right)^2 \right\} \left\{ M_{mo}^* - M_{mb}(-1)^n \right\} + \frac{\frac{n\pi}{b}}{\left(\frac{n\pi}{b}\right)^2 + K} \left\{ m^2 - m^2 \left(\frac{n\pi}{b}\right)^2 + \frac{K}{N} \right\} \left\{ W_{mo} - W_{mb}(-1)^n \right\} \quad (9)$$

x 方向、 y 方向にそれぞれ逆変換を施すと

$$\begin{aligned} \Delta W = & -\frac{b^2}{2N} \left\{ P(\eta) \ddot{M}_o^* + P(1-\eta) \ddot{M}_b^* \right\} - \frac{1}{N} \left\{ Q(\eta) M_o^* + Q(1-\eta) M_b^* \right\} \\ & + \frac{b^2 K}{2N} \left\{ P(\eta) \ddot{\omega}_o + P(1-\eta) \ddot{\omega}_b \right\} + \left\{ Q(\eta) \ddot{\omega}_o + Q(1-\eta) \ddot{\omega}_b \right\} + \frac{b^2}{2} \left\{ P(\eta) \ddot{\omega}_o + P(1-\eta) \ddot{\omega}_b \right\} \end{aligned} \quad (10)$$

せん断力は $Q = \frac{\partial \Delta W}{\partial y}$ (7), (10) より、 $\theta_o, \theta_b, Q_o, Q_b$ は。

$$\theta_o = \frac{b}{2N} (\alpha M_o^* + 2\beta M_b^*) - \frac{1}{b} (\gamma \omega_o + 2\delta \omega_b) \quad \theta_b = \frac{b}{2N} (2\beta M_o^* + \alpha M_b^*) + \frac{1}{b} (2\delta \omega_o + \gamma \omega_b) \quad (11)$$

$$\begin{aligned} Q_o = & \frac{b}{2} (\alpha \ddot{M}_o^* + 2\beta \ddot{M}_b^*) - \frac{1}{b} (\gamma M_o^* + 2\delta M_b^*) - \frac{bK}{2} (\alpha \omega_o + 2\beta \omega_b) \\ & + \frac{N}{b} (\gamma \ddot{\omega}_o + 2\delta \ddot{\omega}_b) - \frac{bN}{2} (\alpha \ddot{\omega}_o + 2\beta \ddot{\omega}_b) \\ Q_b = & -\frac{b}{2} (2\beta \ddot{M}_o^* + \alpha \ddot{M}_b^*) + \frac{1}{b} (2\delta M_o^* + \gamma M_b^*) + \frac{bK}{2} (2\beta \omega_o + \alpha \omega_b) \\ & - \frac{N}{b} (2\delta \ddot{\omega}_o + \gamma \ddot{\omega}_b) + \frac{bN}{2} (2\beta \ddot{\omega}_o + \alpha \ddot{\omega}_b) \end{aligned} \quad (12)$$

但し

$$\alpha = \frac{\sinh 2z - \sin 2z}{C(\cosh 2z - \cos 2z)}, \beta = -\frac{\sinh z \cos 2z - \cosh z \sin 2z}{C(\cosh 2z - \cos 2z)}, \gamma = \frac{C(\sinh 2z + \sin 2z)}{\cosh 2z - \cos 2z}, \delta = -\frac{C(\sinh z \cos 2z + \cosh z \sin 2z)}{\cosh 2z - \cos 2z}$$

3. 平板要素から得られる弹性基礎上モデルによる解式

右図のような普通平板の基本微分方程式は $\Delta^2 W = \frac{q}{N}$ (13)

2. 同様に x 方向に指数型 Fourier 变換、 y 方向に Fourier Sine 变换を施すと

$$S_n[W_m] = -\frac{1}{\left\{m^2 + \left(\frac{n\pi}{b}\right)^2\right\}^2} \left[\frac{1}{N} \left(\frac{n\pi}{b}\right) \left\{ M_{mb}(-1)^n - M_{mo} \right\} + \left(\frac{n\pi}{b}\right)^3 + 2m^2 \left(\frac{n\pi}{b}\right) \right] \left\{ W_{mb}(-1)^n - W_{mo} \right\} \quad (14)$$

$$S_n[\Delta W_m] = \frac{\left(\frac{n\pi}{b}\right)}{m^2 + \left(\frac{n\pi}{b}\right)^2} \left[(-1)^n \left\{ \frac{M_{mb}^*}{N} + m^2 W_{mb} \right\} - \left\{ \frac{M_{mo}^*}{N} + m^2 W_{mo} \right\} \right] \quad (15)$$

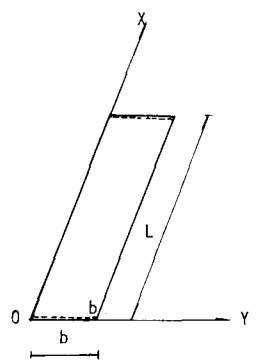


Fig. 2

(14), (15) を y 方向に逆変換し、ベルヌーイの多項式に展開して、微少項を無視し、さらに x 方向に逆変換する。

$$w = b^2 \left[p^*(1-\eta) \frac{M_b^*}{N} + p^*(\eta) \frac{M_o^*}{N} \right] + \eta w_b + (1-\eta) w_o \quad (16)$$

$$\begin{aligned} \Delta w &= -\eta \frac{M_b^*}{N} - b^2 p^*(1-\eta) \frac{\ddot{M}_b^*}{N} + \eta \ddot{w}_b + b^2 p^*(1-\eta) \ddot{\ddot{w}}_b \\ &\quad - (1-\eta) \frac{M_o^*}{N} - b^2 p^*(\eta) \frac{\ddot{M}_o^*}{N} + (1-\eta) \ddot{w}_o + b^2 p^*(\eta) \ddot{\ddot{w}}_o \end{aligned} \quad (17)$$

$$\text{但し } p^*(\eta) = \frac{1}{6} \eta (1-\eta)(2-\eta).$$

となり、これらの式より次の諸式が導かれていく。

$$\begin{aligned} \Theta_o &= \frac{b}{6N} (2M_o^* + M_b^*) + \frac{1}{b} (w_b - w_o) & \Theta_b &= -\frac{b}{6N} (M_o^* + 2M_b^*) + \frac{1}{b} (w_b - w_o) \\ Q_o &= -\frac{1}{b} (M_o^* - M_b^*) + \frac{b}{6} (2\ddot{M}_o^* + \ddot{M}_b^*) + \frac{N}{6} (\ddot{w}_o - \ddot{w}_b) - \frac{bN}{6} (2\ddot{\ddot{w}}_o + \ddot{\ddot{w}}_b) \\ Q_b &= -\frac{1}{b} (M_b^* - M_o^*) - \frac{b}{6} (\ddot{M}_o^* + 2\ddot{M}_b^*) + \frac{N}{6} (\ddot{w}_o - \ddot{w}_b) + \frac{bN}{6} (\ddot{w}_o + 2\ddot{w}_b) \end{aligned} \quad (18)$$

基礎地盤反力 P_r' は新たにたわみの線形変化を仮定して

$$P_o' = \frac{kb}{6} (2w_o + w_b), \quad P_b' = \frac{kb}{6} (w_o + 2w_b) \quad (20)$$

となり、普通平板の節点外力として考慮する。

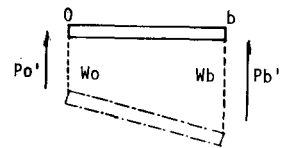


Fig. 3

4. 四辺単純支持矩形板のつりあい条件式

注意の r 長での slope の連続、せん断力のつりあいを考えると

$$\begin{aligned} \theta_{r,r-1} - \theta_{r,r+1} &= 0 \\ Q_{r,r-1} - Q_{r,r+1} &= P_r \end{aligned} \quad (21)$$

2. 3. で求められた諸式を (21) に代入する。そして境界条件に留意しながら y 方向にフーリエ級分変換、 x 方向にフーリエ変換を施す

2. について

$$\begin{aligned} \frac{b}{N} (\beta M_{r+1}^* + \alpha M_r^* + \beta M_{r-1}^*) \\ - \frac{2}{b} (\delta W_{r+1} + \gamma W_r + \delta W_{r-1}) = 0 \end{aligned}$$

$$\begin{aligned} -b(\beta \ddot{M}_{r+1}^* + \alpha \ddot{M}_r^* + \beta \ddot{M}_{r-1}^*) + \frac{2}{b} (\delta M_{r+1}^* + \gamma M_r^* + \delta M_{r-1}^*) \\ + bK(\beta W_{r+1} + \alpha W_r + \beta W_{r-1}) - \frac{2N}{b} (\delta \ddot{W}_{r+1} + \gamma \ddot{W}_r + \delta \ddot{W}_{r-1}) \\ + bN(\beta \ddot{\ddot{W}}_{r+1} + \alpha \ddot{\ddot{W}}_r + \beta \ddot{\ddot{W}}_{r-1}) = P_r \end{aligned}$$

$$\frac{b}{N} X S_i[\tilde{M}_r] - 2 \left(\frac{\gamma}{b} + bD X \right) S_i[\tilde{W}_r] = 0 \quad (22)$$

$$\begin{aligned} \left(\frac{2\gamma}{b} - bDX \right) S_i[\tilde{M}_r] \\ + \left(bKX + bND^2 X - \frac{2ND}{b} Y \right) S_i[\tilde{W}_r] = S_i[P_r] \end{aligned} \quad (23)$$

3. について

$$\begin{aligned} \frac{b}{6N} (M_{r+1}^* + 4M_r^* + M_{r-1}^*) \\ + \frac{1}{b} (W_{r+1} - 2W_r + W_{r-1}) = 0 \end{aligned}$$

$$\begin{aligned} -\frac{1}{b} (M_{r+1}^* - 2M_r^* + M_{r-1}^*) - \frac{b}{6} (\ddot{M}_{r+1} + 4\ddot{M}_r + \ddot{M}_{r-1}) \\ + \frac{N}{b} (\ddot{W}_{r+1} - 2\ddot{W}_r + \ddot{W}_{r-1}) + \frac{bN}{6} (\ddot{\ddot{W}}_{r+1} + 4\ddot{\ddot{W}}_r + \ddot{\ddot{W}}_{r-1}) \\ = P_r - \frac{kb}{6} (W_{r+1} + 4W_r + W_{r-1}) \end{aligned}$$

$$\frac{b}{6N} (6 - D_i) S_i[\tilde{M}_r] - \frac{D_i}{b} S_i[\tilde{W}_r] = 0 \quad (24)$$

$$\begin{aligned} \left\{ D_i \left(\frac{1}{b} + \frac{b}{6} D \right) - bD \right\} S_i[\tilde{M}_r] \\ - \left\{ ND \left(D_i \left(\frac{1}{b} + \frac{b}{6} D \right) - bD \right) - \frac{kb}{6} (6 - D_i) \right\} S_i[\tilde{W}_r] \\ = S_i[\tilde{P}_r] \end{aligned} \quad (25)$$

$$\text{但し } \tilde{M}_r^* = \int_0^L M_r^* \sin \frac{m\pi x}{L} dx \quad S_i[\tilde{M}_r^*] = \sum_{k=1}^{n-1} \tilde{M}_r^* \sin \frac{k\pi x}{L}$$

$$D = -\left(\frac{m\pi}{L}\right)^2 \quad X = (\alpha + 2\beta \cos \frac{i\pi}{n}) \quad Y = (\gamma + 2\delta \cos \frac{i\pi}{n}) \quad Di = 2(1 - \cos \frac{i\pi}{n})$$

(22)～(25)よりそれぞれの $S_i[\tilde{M}_r^*], S_i[\tilde{\omega}_r]$ が求まり、 X 方向、 Y 方向にそれぞれ逆変換を施すことにより。
 $\omega_r, M_r^*, \omega_r^*, M_r^*$ となる。つまり

$$\begin{aligned} M_r^*(x) &= \frac{4}{nL} \sum_{m=1}^{\infty} \sum_{k=1}^{n-1} S_i[\tilde{M}_r^*] S_i[\tilde{\omega}_r] \sin \frac{m\pi r}{n} \sin \frac{mk\pi x}{L} \\ M_r(x) &= -N \left(\frac{\partial^2 W}{\partial y^2} + \nu \frac{\partial^2 \omega}{\partial x^2} \right) = M_r^*(x) - \nu N \ddot{\omega}_r(x), \quad M_{xr}(x) = \nu M_r^*(x) - N \dot{\omega}_r(x) \end{aligned} \quad \text{となる (26)}$$

5. 数値計算

使用断面は、200cm四方、厚さ15cmのConcrete
 板 ($E = 30 \times 10^8 / \text{m}^2$, $\nu = 1/6$) であり、1 ton の集中
 荷重を板中央に載荷して、まず弾性基礎工板要素よ
 り得られる解式について、分割による収斂状態を求
 め (fig. 4). 次にこの解式に対する後者の簡略な解式
 の精度を分割数と地盤反力について検討してみた (fig. 5-a, b)。なお fig. 5 中の N は分割数を示している。

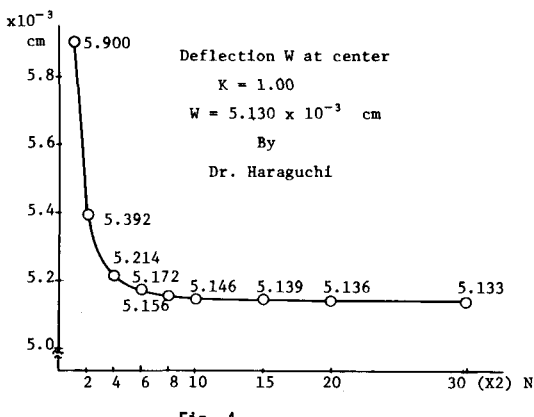


Fig. 4

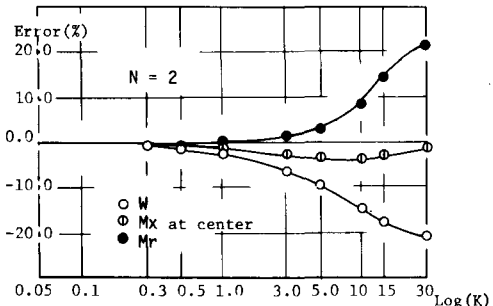


Fig. 5 - a

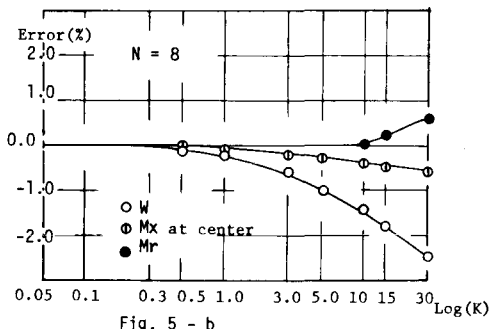


Fig. 5 - b

6. 結び

2の解式(厳密解)は8分割でも十分良い値を与える。簡略な解式の精度について $K = 1$ 以下であると最
 低2分割でも誤差が2.5%以下であり、どちらの方程式用いてもよいと思われる。 $K = 1$ 以上の場合でも8分
 割で十分の精度が得られる。この結果 簡略な解式でも十分 弾性基礎工の構造物の解析に適用できると思わ
 れる。また 解析において用いられた逆変換は8分割の場合、 $(n-1)$ 個の有限級数和を求めるのみであ
 り、演算時間も大幅に短縮でき、非常に有効な手段である。

参考文献 1) S.G. Nomachi; A note on Finite Fourier Transform Concerning Finite Integration
 (Trans. Mem. Vol. 5 No. 2)

- 2) 能町松岡 坂米; 帯板要素とする平板の解法について、土木学会第24回学術講演集
 3) 越後 ; 帯板要素法による沈埋構造物の応力解析 墓工大 修士論文